

車嶺花崗岩 底盤과 이에 관련된 金屬礦床의 岩石學的 및 地質構造的研究*

金 玉 準**

The Petrochemical and Structural Study on the Charyong Batholith and its Associated Metallic Deposits

Ok Joon Kim

Abstract

The Charyong batholith extends northeasterly from the west coast to the west of Wonju in the central parts of Korean Peninsula. The batholith is separated by the metamorphic complex into the northern and the southern granites, and is believed to intrude during the Daebo orogeny of early Jurassic to early Cretaceous age. It constitutes a sort of anticlinorium and the metamorphic complex can be regarded as a huge roof pendant.

The modal analysis indicates that the Charyong batholith belongs to a series of adamellite-granodiorte-to-nalite. The oxidation property happened during a magmatic segregation reveals that the batholith shows in general orogenic assimilation trend. The granites of early to middle Jurassic age show orogenic assimilation trend, whereas those of late Jurassic to early Cretaceous age post orogenic noassimilation trend.

The fracture system of the whole region is two folds : the fractures having attitude of N25°~40°E and 70°SE are regarded as tension fractures, and those of NS, and 50E to vertical and N50°E and 80°E to vertical as shear fractures.

All these facts suggest definitely that the Charyong batholith is the syntectonic intrusives during the Daebo orogeny.

The mineral deposits in the area studied are gold—silver deposits in majority which was named by O.J.Kim(1970) as the Chonan metallogenic province. They are sulfides baring quartz veins which were emplaced along the tension and shear fractures originated by the Daebo orogeny.

1. 序 言

忠清南北道에 있어 車嶺山脈을 따라 分布하며 大寶花崗岩에 屬하는 車嶺花崗岩底盤을 岩石學的 및 地質構造의 見地에서 研究하고 그 周邊의 變成岩內에 分布

하는 鎳床의 構造形態를 규명하여 이 地域礦化帶를 정화히 設定하므로서 大寶造山運動과 鎳床成因과의 關係를 규명하는데 本研究의 目的은 두었다. 이를 위하여 本地域과 關係된 各種 資料 즉 地質圖幅說明書, 한국의 광상, 地質礦床, 탐광시추, 鎳山地質, USOM 보고서 Gallegher 보고서 等의 문헌을 참고 종합검토하였다. 本域에 發達하는 모든 花崗岩類가 同一時代라는 確證은 없다. 다시 말하면 그들의 大部分은 大寶花崗岩이나 佛國寺花崗岩도若干있을 수 있다고 본다. 그러나

*本研究는 1976年度 文教部 研究費에 依하여 이루어졌다.

**延世大學校 地質學科, Department of Geology, Yonsei University, Seoul Korea

岩石年齢測定이 未洽하여 이를 구별하기 어렵기 때문에多少佛國寺花崗岩에 수반되리라 보이는 鑽床도 여기에包含되어 檢討되었다는點을 指摘하며 이는 앞으로花崗岩의 年齡이 밝혀진 後에는 再檢討되어야 할것이다.

1976年부터 1977年 8月에 걸쳐 357개 鑽床의 資料를 검토하였으며 化學分析資料, 岩石年齡測定 資料 등을 검토하였다. 本研究는 本 車嶺花崗岩지반의 岩石學의 및 岩石化學의 특성과 지반주변에 分布하는 鑽床들의 構造的인 Pattern을 研究하고 이를 鑽床의 成因과 造山運動과의 關係를 중점적으로 다루었다.

本研究는 1976年度 文教部研究費에 依하여 이루어졌으며 관계기관에 사의를 표한다. 본연구를 爲해 자료정리 및 야외조사등을 도와준 연세대학의 金奎漢, 이영훈, 김원영, 윤정주군 등 대학원학생들에게 사의를 표하고 각종 분석자료를 제공해 준 李大聲교수께도 사의를 표한다.

2. 地 質

本調査地域의 地質은 舒川과 大川에서 青陽—並川—鎮川—長湖院으로 東北—西南으로 연하여 分布하는 先祖 브리아紀의 京畿變成岩複合體(漣川系)와 이를 貫入한 쥐라紀, 초기 백악紀의 大寶花崗岩으로構成되어 있으나 백악紀末의 佛國寺花崗岩도 分布하고 있을 可能性도 있다. 本 地域에 分布한 花崗岩類는 車嶺지반이라 부르고 이를 研究목적상 크게 들로 구분하여 京畿變成岩複合體와 沃川層群間に 있어 金堤—全州—扶餘—大田—槐山—忠州方向으로 연속하여 分布한 것을 南部花崗岩帶, 瑞山—洪城—平澤—鎮川—安城—利川方向으로 연하여 分布하는 북쪽 화강암을 北部花崗岩帶로 區分하였다(그림 1).

2-1 京畿變成岩複合體

本 岩類는 조사지역 서남단의 大川과 舒川에서 동북으로 青陽—並川—長湖院—忠州일대에 넓게 分布한다. 本 變成岩複合體는 크게 모아 roof pendant로 볼 수 있을 것 같다. 主로 片岩과 硅岩으로된 瑞山層群과 編狀片麻岩, 混成質片麻岩, 斑狀變晶質片麻岩, 花崗岩質片麻岩, 片岩으로된 漣川系에 屬하리라고 推測되는 片麻岩複合體로 되어 있다. 이들 變成岩類의 片理의 주향은 일반적으로 N20~80E로서 동북—서남 方向을 나타낸다. 本 岩類中 禮山부근의 花崗片麻岩의 Rb—Sr 方法에 依한 연령은 2100. m.y., 洪城부근의 흑운모 편마암은 1971m.y.이다(표 1).

2-2 北部花崗岩

本 帶의 花崗岩類는 瑞山—洪城에서 동북으로 禮山—

平澤—安城—利川으로 연하여 分布하고 있다. 대부분 大寶花崗岩으로서 角閃石花崗岩, 黑雲母花崗岩, 白雲母花崗岩, 斑狀花崗岩, 複雲母花崗岩, 페그파이트質花崗岩, 애프라이트質花崗岩, 閃綠岩, 花崗斑岩등으로 구성되어 있다.

烏山도록(1:50,000)내에 分布하는 角閃石花崗岩은 주로 석영, 사장석, 미사장석, 정장석, 페어사이트, 각섬석, 흑운모 등으로 구성되어 있으며 녹니석, 백운모, 자철석, 저어콘등의 부성분광물로 구성되어 있다.(오인섭의, 1973). 여주도록 내에 分布하는 閃綠岩質花崗岩內에는 N60°E, 72~82°NW의 절리가 잘 발달한다(여상철의, 1975). 그리고 인접한 利川도록내에 分布하는 흑운모화강암내에는 페그마타이트가 많이 발달하는 것이 특징이다.

2-3 南部花崗岩

本帶의 花崗岩類는 金堤—全州—論山—扶餘—大田—淸州—陰城—忠州로 연하여 分布하며 쥐라기 大寶花崗岩이 주이며 大田西側 孔岩里부근과 용유리 부근에는 백악紀末의 佛國寺花崗岩이 거의 남북方向으로 太寶花崗岩을 貫入하고 있다. 本 岩類는 주로 片狀花崗岩(Schistose granite), 斑狀花崗岩, 黑雲母花崗岩, 花崗閃綠岩, 複雲母花崗岩, 角閃石花崗岩등으로 되어 있다.

參禮, 龍潭도록내에는 黑雲母花崗岩, 片狀花崗岩, 斑狀黑雲母花崗岩이 주로 分布하며 公州도록내에 分布하는 斑狀碎屑片麻狀花崗岩은 사장석 34%, 석영 23%, 미사장석 15%, 흑운모 10%, 백운모 8%, 석류석 3%, 자철석 3%, 적철석 2%, 楠石 2%등으로 구성되어 있다(김서운의, 1976). 廣寧도록, 淸州도록 서부에 分布하는 斑狀花崗岩은 석영몬조니암~正花崗岩이고 黑雲母花崗岩은 花崗閃綠岩~토날라이트계열에 속한다(권영일의, 1974). 曾坪, 槐山도록내에는 쥐라기의 斑狀花崗岩, 花崗閃綠岩, 백악기의 黑雲母花崗岩 및 우백색의 斑狀花崗岩이 주로 分布한다. 陰城도록내에 分布하는 粗粒片狀花崗岩은 花崗岩化作用에 依해 이루 어졌음을 시사하고 있으나(정창희의, 1976) 대단히 의심스럽다.

忠州, 牧溪지역에는 주로 角閃石花崗岩, 黑雲母花崗岩, 斑狀花崗岩, 複雲母花崗岩이 대표적이며 牧溪도록 남동우와 남서부에 分布하는 黑雲母花崗岩은 페사이트조직과 미사장석이 많이 나타나며 帶狀構造가 잘 나타난다(박봉순의, 1971).

2-4 花崗岩類의 貫入時期

지금까지 실시된 本調査地域內의 岩石연령측정 결과는 표 1과 같다.

북부 및 남부 花崗岩類의 貫入時期는 101~180 m.y.

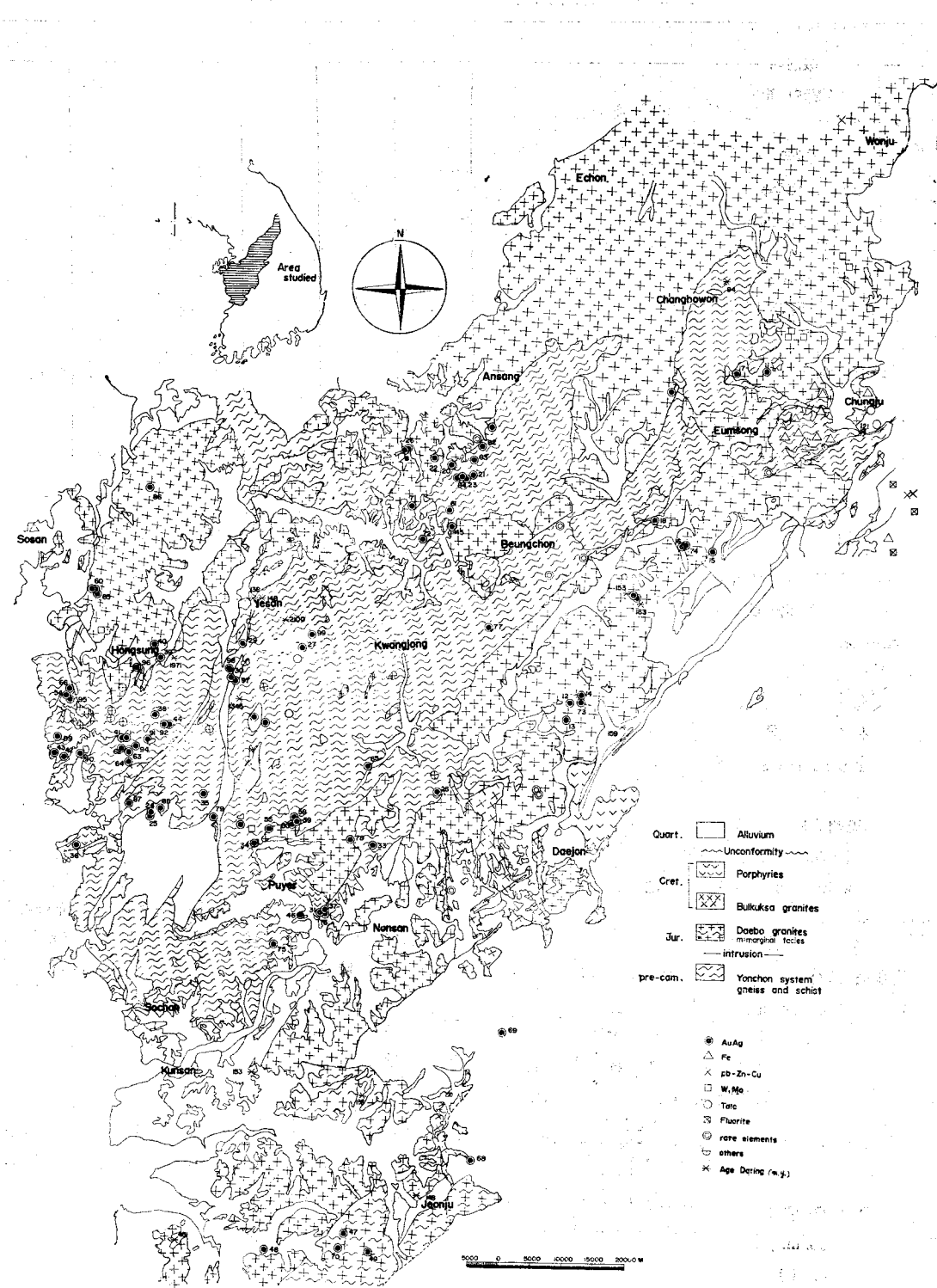


그림 1. 車嶺花崗岩 지반부근의 地質圖

표 1 調査地域내에 分布한 岩石의 절대연령측정 결과

도록명	좌 표	지 명	암석명	측정방법	대상광물	연령 ×10 ⁶ yr	시대구분	측정자
대 흥	36°39'~126°55'	예산 대술면 화천리	Gr gn	Rb-Sr		2100	Precam.	c
대 흥	36°39' 126°52'05"	예산 대술면 상정리	Gr gn	Rb-Sr		2418	"	f
"	36°32'~126°52'05"	운곡면 영양리	Gr gn	"		1345	"	f
홍 성	36°37' 126°44'	금마면 부명리	Bi. gn	"		1971	"	f
"	36°41' 127°31'45"	(淸川東方) 북일면 뚝방리	Bi gr	K-Ar	Bi	163	mid.	e
증 평	36°41' 127°31'45"	북일면 뚝방리	Br gr	"	Bi	153	Jur.	e
미 원		청원군 문의면 문산리	Bi gn	K-Ar	Bi	159	"	d
이 리	35°59'40" 126°52'20"	서해면 황동	Bi gr	K-Ar		158	"	e
삼 예	35°58'20" 127°03'30"	왕궁면 왕궁리	Sch. gr	K-Ar	Bi	158	"	e
전 주		전주시 금암동	"	"		148	upper	e
예 산		충남 예산	Bign gn	Rb-Sr		138	Jur.	b
충 주	36°56'30" 127°56'	충원군 단월리(충주철산)	Bi gr	K-Ar	Bi	148	"	e
음 성	36°59'30" 127°36'20"	금왕면 무극리 무극광산	Bi gr	"	K-feldspar	121	lower Cret.	e
		칠보 발전소 동부	Sch. gr	"	"	112	mid. Cret.	e
						106	"	e

Gr gn ; granite gneiss

c ; P. M. Hurley, J. H. Lee and Others(1970) ; M. I. T. Report

Bi gr ; Biotite granite

f ; J. H. Lee, P. M. Hurley & Others (1972) 「지질광상17」 915-21

Sch ; Schist

e ; O. J. Kim (1971) : J. Kor. Inst. Mining Geology

Bi ; Biotite

d ; S. H. Choo (1971) ; 945~59

b ; Ueda Nozomu (1968) ; Thesis of master, Tokyo Univ.

로서 쥬라紀初～白堊紀中期에 걸친다. 金玉準(1971)은 쥬라紀初～白堊紀初까지의 大寶花崗岩이 大寶造山運動과 syntectonic 임을 밝힌 바 있다. 本調査地域內의 花崗岩類의 貫入時期는 대부분 쥬라紀이고 白堊紀의 것도 소규모 分布한다. 정밀지질조사의 결여와 연령측정자료의 미비로 정확한 확정은 못하지만 大寶花崗岩 中에서도 岩石의 種類에 따라 貫入時期가 다를 것으로 생각되며 그들간의 相互關係도 밝혀지지 않고 있다. 그러나 이 貯入岩體가 주위에 미친 力學의 면에서는 本岩石內에 發達하는 構造의 pattern 을 보아 이들 全體를 하나로 묶어 해석하여도 無關하리라 생각된다.

Rb-Sr法에 依한 漣川系에 屬한다고 보는 變成岩複合體의 연령은 표 1에 표시한 것과 같이 2418~1917m.y.로서 先 кам브리아紀이다.

3. 岩石學的 및 岩石化學的 고찰

北部花崗岩에 對하여는 資料비로 天安花崗岩에 對하여서만 검토하고 주로 東部花崗岩에 關하여 다루었다. 南部花崗岩지역은 李大聲(1971)이 區分한 沃川西北帶과 거의一致하는 지역이다. 沃川西北帶의 火成岩

類는 斑櫛岩—托날라이트—花崗閃綠岩—아다멜라이트의 複合體로 되어 있다(李大聲, 1971).

南部花崗岩의 modal analyses 에 의하여 石英—カリ長石—斜長石의 鎌物成分을 圖示하면 그림 2a와 같다. 天安花崗岩은 아다멜라이트, 托날라이트(tonalite)계열에 속하며 米院花崗岩은 아다멜라이트, 花崗閃綠岩에 속한다. 沃川西北帶의 岩相의 特徵은 K-feldspar 는 미사장석이고 C.I. 은 平均 13.4, Qz+K.f+Pl 은 평균 85.6%이며 머며카이트(myrmekite) 0~3.4%이다(李大聲, 1971). 石英—長石—有色鎌物의 mode를 보면 quartz ; feldspar ; mafic mineral 이 30 : 65 : 7 비의 지역에 도시된다. 天安花崗岩과 米院花崗岩은 有色鎌物의 變化 없이 石英과 長石의 量이 變化한다(그림 2b).

天安花崗岩, 米院花崗岩, 沃川西北帶의 花崗岩의 modal composition은 표 2a 2b, 2c 와 같다.

南部花崗岩의 40여 시료의 化學分析치에 의하여 地域別時代別 특징을 Fe oxides-Na+K-Mg 와 A-K-F diagram과 norm 값에 의한 Or-Ab-An 사이의 關係를 검토하여보면 다음과 같다.

Tab. 2b. Modal Composition of Miwon Granite(after H. K. Kim 1977)

Mineral	Sample No.		1	2	3	4	5	6	7	8	9	10	11	12	13	14	15	16	17	18	19	20	21			
	1	2																								
Quartz	34.14	41.13	30.19	36.21	28.44	21.62	31.02	28.26	34.99	36.49	38.17	23.98	32.45	22.28	32.76	35.59	37.55	24.70	44.38	36.44	33.88					
Plagioclase	32.91	27.58	24.56	27.59	39.39	38.08	40.35	23.76	27.55	39.71	18.61	31.48	26.32	29.07	35.14	34.72	28.07	36.19	36.22	29.04	43.52	32.59				
K-Feldspar	27.89	17.14	35.02	34.55	23.91	30.11	39.04	38.09	18.29	31.09	25.91	37.18	28.98	35.16	30.86	34.52	25.29	30.19	20.85	14.03	25.75					
Biotite	2.06	13.40	8.85	6.53	7.30	3.19	1.84	6.14	13.80	1.63	0.92	9.50	1.16	7.69	5.73	6.63										
Muscovite	2.54	0.23	0.52	1.26	1.05	0.36	2.46	2.42	0.89	2.51	1.01	7.42	0.48	0.09	0.97	1.12	5.82									
Epidote	0.26	0.22	0.09	0.17			1.59		0.29																	
Sphene	0.52	0.63					0.09																			
Hornblende			0.29	0.63	0.27				0.59																	
Magnetite			0.2	0.54	0.24																					
Allanite																										
Calcite	0.19																									
Total	99.99	100	99.99		100.01	99.99	100.01	99.99	100.01	99.99	100.01	99.99	100	100	99.98	100	100	69.99	100	100	100	100	100	99.99		
I.C	30	22	26	17	34	32	27	26	24	36	44	26	33	28	32	21	28	28	21	22	23					
C.I	5.05	14.15	10.22	1.64	8.58	7.93	6.19	6.09	7.12	13.80	4.43	2.52	9.50	7.42	1.64	1.02	0.97	8.88	5.73	5.82	7.77					

Mineral	Sample No.		1	2	3	4	5	6	7	8	9	10	11	12	13	14	15	A-16	A-17	A-18	A-19	A-20	A-21				
	1	2																									
Quartz	21.39	35.90	32.39	41.63	36.47	21.17	25.31	31.43	18.23	34.37	12.18	21.15	32.54	26.25	28.43	29.23	27.18	2.59	30.11								
Plagioclase	48.17	33.56	33.13	22.97	29.58	37.27	37.36	33.89	30.25	33.42	36.91	39.92	46.45	35.35	34.52	38.47	34.60	24.72	49.93	33.33							
K-Feldspar	26.25	29.19	32.63	29.16	31.41	30.98	28.10	21.35	28.70	28.81	33.19	39.71	22.55	29.60	33.03	17.91	33.62	45.69	15.02	28.67							
Biotite	9.20	0.25	9.68	7.76	0.14	22.43		7.03	8.04	9.02	6.97	4.42	12.25	1.37	1.04	10.81	5.18										
Muscovite	1.35	1.40	6.24	2.55	0.72	0.68	12.08		3.41		0.39	4.36	1.78	2.90	0.88	0.27	1.38	1.81									
Epidote																											
Sphene			0.19	0.79		0.27			0.15		0.08																
Hornblende			0.19			1.10	0.12			0.22																	
Magnetite																											
Allanite																											
Calcite																											
Total	100.01	100	99.99		100	100.01	100.01	100	99.99	100	100	100	100	100	100	100	100	100	100	100	100	100	100	100	100	100	
I.C	35	29	50	48	45	38	28	30	24	58	39	41	43	55	30	32	19	15	27								
C.I	8.20	1.35	1.84	6.24	2.55	10.59	9.23	13.32	22.82	3.41	7.03	8.19	9.85	11.51	6.2	15.04	2.54	2.41	13.45								

I.C : Identity change, C.I : Color index.

Tab. 2e

沃川 NW 帶 花崗岩類의 modal composition (D. S. Lee, 1971)

Sample-No	NWt				NWcx											
	33	30	26	35	K-12	K-25	38	37	34	25	32	31	29	28	27	22
Quartz	14.8	5.5	14.2	12.6	35.1	27.3	33.2	20.3	34.7	28.1	32.5	24.1	2.2	30.2	34.8	32.4
Orthoclase		1.1			19.4	14.9	12.7		27.8	33.3	25.8	24.8	15.5			
Microcline	1.6			1.4	1.8		1.6	16.1				24.6	27.0	24.3		
Microperthite																
Plagioclase	59.2	50.2	44.7	38.1	364	42.4	42.2	48.0	28.2	31.7	31.5	40.9	38.8	35.6	29.4	36.7
Myrmekite	0.2			0.1	1.5	2.2	0.5	0.9	0.5	3.1	1.5	1.1	0.1	3.4	0.4	
Apatite	0.2	0.8			0.1	0.2	0.1			0.1	0.1	×		×		
Muscovite								5.0	×	4.9	2.5	0.8		2.5		
Biotite	21.9	17.5	14.4	22.0	4.7	7.6	2.6	12.2	5.4	1.3	6.8	4.3	7.3	1.2	5.5	
Hornblende	19.8		7.6	14.9			5.0	0.5					0.2			
Augite	0.1	0.1														
Ores	×	2.6		0.1	0.3	0.5	0.6	0.2		0.2		×	0.3	0.1		
Zircon	×		2.3		0.1	×			×	×	×	×	0.1			
Sphene	0.6					×	1.1	0.8		×	×			0.3		
Garnet	...								0.6	0.7	1.6					
Epidote		0.2	6.5		0.1	0.1	×	0.2		×			0.2	0.1		
Allanite	×		0.3		×	0.1	0.3						×			
Chlorite	×	0.4	2.7		0.1	0.3	0.4		0.5	×		2.3	0.6	0.1		
Calcite		1.0										0.1				
Sec. mica	2.5	7.9	11.1		0.6	1.9	0.7	1.2	0.4	0.4	0.2	6.1	4.8	1.6	0.7	0.3
Rest	0.1															
Qtz+kf+pl	75.8	53.3	67.0	63.3	94.8	91.4	88.6	86.1	92.0	94.0	93.1	88.1	94.7	92.1	95.6	94.2
C.I	24.2	40.7	33.0	36.7	5.2	8.6	10.7	13.9	3.2	6.0	2.1	9.7	4.5	7.9	2.0	5.8
I.C	24	20	23	40	30	22	21	22	33	16	21	18	22	20	28	10

Tab. 2a

Modal composition of Chonan granite (J H Yoo 1977)

Sample-No mineral	1-124	1-117	1-2-1	1-1-4	1-4	1-104	1-113	1-116	2-18	2-163	2-9	2-10	4-3-1	4-164	
Quartz	34.28	21.23	25.74	33.95	20.65	29.6	34.73	24.46	29.84	23.80	40.48	31.43	44.53	23.49	
K-Feldspar	32.8.	45.68	40.00	36.20	46.00	41.49	27.51	51.40	2.81	3.92		0.82	32.43	38.29	
Plagioclase	28.81	32.73	29.57	21.86	27.06	24.79	33.54	21.47	51.24	60.50	45.91	46.43	16.76	23.83	
Biotite	3.60		3.99	6.28	5.77	3.41	3.34	1.97	9.92	8.71	8.31	17.18	5.32	14.39	
Muscovite	0.42	0.36	0.71	1.71	0.52	0.62	0.88	0.76							
Sphene									1.26		0.76	0.76			
Epidote									3.44	1.54	3.52	2.59	0.95		
Hornblende									0.99	1.54	1.02	0.8			
Total	99.99	100	100.01	100	100	100	100	100	100	100	100	100	99.99	100	
I.C	22	23	36	61	17	20	31	23	15	23	15	20	35	33	
C.I	4.02	0.36	4.7	7.99	6.29	4.03	4.22	2.67	16.11	11.79	13.61	21.32	6.27	14.39	

I.C : Identity change

C.I : Color index

Two mica granite : ×

Hornblende-biotite granite : ●

Biotite granite : ▲

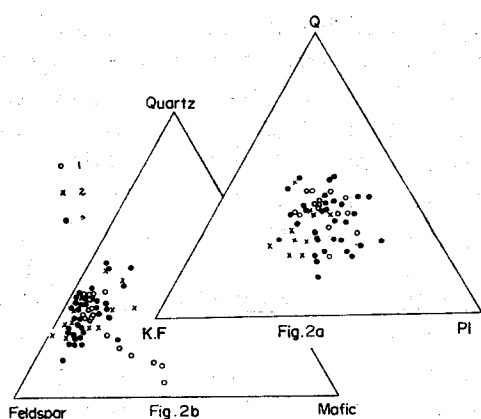


Fig. 2a, 2b Triangular plots of modal composition

1. NW zone (D. S. Lee)
2. Chonan granite
3. Miwon granite

Kennedy(1955), Osborn (1959), Roeeder 와 Osborn (1966)等에 依하면 마그마의 分化中 Fe의 Oxidation의 영향을 $\text{Fe}_2\text{O}_3 + \text{FeO} - \text{K}_2\text{O} + \text{Na}_2\text{O} - \text{MgO}$ 사이의 關係로서 설명하고 마그마에 있어서 산소의 分壓(Oxygen Partial Pressure)에 의해 magma 分化 trend를 그림 3a 3b와 같이 high P_{O_2} 는 orogenic assimilation trend로, low P_{O_2} 는 Post orogenic no-assimilation tend로 区分된다고 한다. 이를 南部花崗岩에 適用하여 보면 그림 3a와 같이 orogenic assimilation trend의 경향을 나타낸다.

한편 그림 3a의 資料를 時代別로 도시해보면 early Jur. middle Jur. 花崗岩은 orogenic assimilation의 trend를 보이고 late Jur~Cret. 時代의 경우는 post orogenic no-assimilation trend를 나타낸다(그림 3b).

이는 쥐라紀의 大寶花崗岩이 一般的으로 syntectonic intrusive 임을 立證하여 주는 것으로 보인다.

A—K—F diagram은 A는 $\text{Al}_2\text{O}_3 + \text{Fe}_2\text{O}_3 - \text{CaO} - \text{Na}_2\text{O} - \text{K}_2\text{O}$, K는 K_2O , F는 $\text{MgO} + \text{MnO}$ 로서 도시했다. 本 도표로서 Oba(1962)는 日本의 花崗岩에서 AKF diagram을 이용하여 contamination trend가 pelitic field 와 diabasic field의 두 方向으로 분리됨을 보였다.

車嶺지반의 地域別 분석치에서 이들을 AKF diagram에 圖示해 보면 그림 4a와 같다. 李大聲(1971)은 日本히로시마 西北대의 花崗岩에서 沢川系 花崗岩으로 옮수록 A 성분이 증가하는 경향을 Al_2O_3 의 contamination trend로 설명하였다. 한편 時代別 A—K—F 도표에서 쥐라기의 것은 좁은 범위에 집중 도시되고 백악기

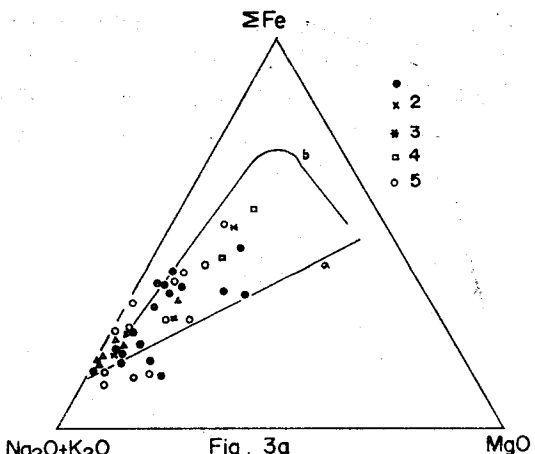


Fig. 3a. Effect of oxidation state of iron on the crystallization trend of Charyong granite batholith of the different areas

1. Chonju
2. Chongsan
3. Daejeon
4. Chungju
5. Okchon

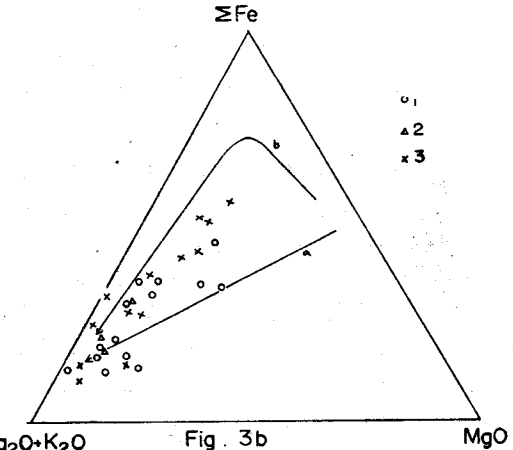


Fig. 3b. Effect of oxidation state of iron on the crystallization trend of Charyong granite batholith of the different ages. 1. Early Jur~late Jur 2. Middle Jur. 3. Late Jur~early Cret.

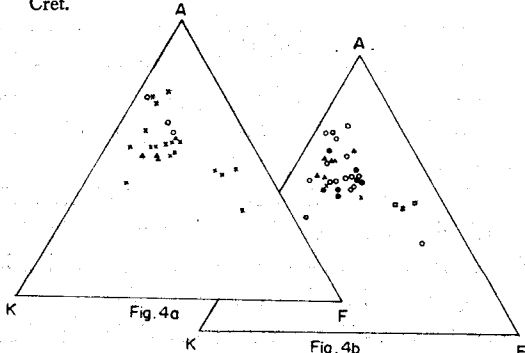


Fig. 4a. The AKF diagram of Charyong granites of the different areas (4a) and of the different ages(4b).

의 것은 일반적으로 분산 도시되며 A : K : F는 60 : 40 : 23의 범위에 도시된다. 쥬라기의 것은 A 성분이 증가하고 백악기의 것은 감소하는 경향을 보이는 데 전자는 Al_2O_3 contamination을 많이 받고 후자는 덜 받은 경향을 보인다(그림 4b).

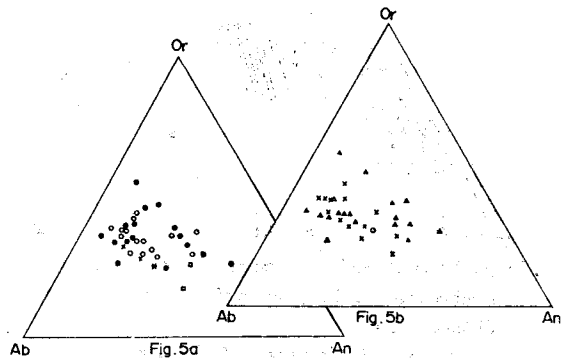


Fig. 5a Triangular plot of norms of Charyong granites of the different areas (5a) and of the different ages (5b)

Norm계산에 의하여 Or—Ab—An diagram에 각 지역별 花崗岩을 plot하면 그림 5a와 같다. 全州地域은 Or:Ab는 변화가 적고 An은 변화범위가 넓다. 그리고 全州지역의 것은 일반적으로 An양이 적고 忠州지역의 것은 Ab적고 An많다. 한편 時代별로 Or—Ab—An 관계는 쥬라紀의 것은 An많은 경향이 있고 백악紀의 것은 An적은 경향이 있다(그림 5b). 쥬라紀—백악紀 경우 모두 An의 양의 변화 범위가 크다.

4. 地質構造

本調査地域은 車嶺複背斜構造와 公州向斜構造가 지나방향으로 發達하는 지역이다(金玉準, 1970)。車嶺複背斜構造는 大寶造山運動에 依해 형성된構造이다。한편 公州 trough는 後造山運動의 盆地로서 여기에 慶尚系가 堆積되었다。이는 本論文에서 다루는 構造와는 無關하다。

礫床에 發達하는 脈狀構造가 花崗岩貫入과 造山運動과 關聯이 있다는 前提下에 本調査地域내의 357個 鑿床資料中 脈狀鑿床 114個를 택하여 이를 構造面의 pole을 stereo net에 圖示한結果는 다음과 같다.

첫째: 本調査地域 變成岩類 및 花崗岩類全體내에 發達하는 脈狀礫脈의 走向, 傾斜를 plot하면 그림 6a와 같으며 이들은 주향 N25—40E 경사 70SE; N—S, 50E~

vertical; N70°W, 40NE 순이다。京畿變成岩複合體內에 發達하는 脈狀礫床의 脈의 走向, 傾斜를 plot하면 그림 6b와 같으며 N20~40W, 40~65SW; N—S, 80E~vertical; N30°E, 40~70SE 순이다。北部花崗岩內에 發達하는 脈狀礫脈의 그것을 圖示하면 그림 6c와 같으며 N70~80E, 30~70NW; N70~80W, 40~80NE가 주이다。한편 南部花崗岩의 경우는 N30~40E; 50~75SE; N—S, 50~60W~vertical; N50~60W; 45~85NE 순이다(그림 6d)。

兩花崗岩內의 鑿脈의 發達狀況을 종합하면 N30~40E 40~75SE; N—S, 50~70W; N50°E 50~65NW 순이다。이들 花崗岩類의 分布가 車嶺山脈의 方向과 一致하며 이를 褶曲軸의 方向과 一致한다고 본다면 前者は tension fracture에 속하고 後二者(거의 差가 없음)는 shear fracture에 속하는 것으로 解釋된다。이와 같은 구조선을 종합해석하면 金玉準(1971)이 밝힌 바와 같이 車嶺花崗岩의 貫入과 造山運動은 syntectonic임이 확실하다。그러나 李大聲(1971)은 斑櫟岩, 토날라이트—花崗閃綠岩—아다멜라이트의 複合體로 된 沃川西北帶의 東北—西南方向의 花崗岩類는 late tectonic이라고 하였다。그러나 花崗岩의 연령 측정結果로 大寶造山運動時期와 一致하고 있으므로 syntectonic임이 확실하다。

京畿變成岩複合體내에 發達하는 N25—40E, 70SE의 鑿脈의 構造線은 tension fracture이고 NS, 50E~vertical과 N70W, 40NE는 shear fracture이며 E, N20—40W, 40—65SW는 extension fracture로 해석되며 花崗岩內의 것과 큰 差가 없으며 이들 fracture들은 大體로 NW—SE 方向의 compressional force에 依하여 形成된 것으로 보인다。

5. 車嶺底盤 주변에 分布하는 鑿床

京畿 變成岩 複合體와 車嶺 花崗岩底盤과 이들 주변에 分布하는 357個 鑿床中 주로 脈狀礫床을 택하여 総合하여 보면 다음과 같다。

鑿床의 分布를 보면 金銀鑿床은 ① 大川—洪城—大興—禮山 地域 ② 天安—並川—安城地域 ③ 扶餘—公州地域에 밀집되어 分布한다。텅그스텐—몰리브덴 鑿床은 목계, 증평, 홍성지역에 소수 分散分布한다。

기타 鉛·亞鉛鑿床·회유원소 鑿床들이 소수 分散分布한다.

5-1 金銀鑿床

本調査地域내의 가장 代表的인 鑿床으로서 가장 많이 分布하며 過去 天安金鑿床帶(金玉準1971)로 알려진 地域이다。

金銀鑿床 100여개를 대상으로 母岩, 수반광물, 광맥

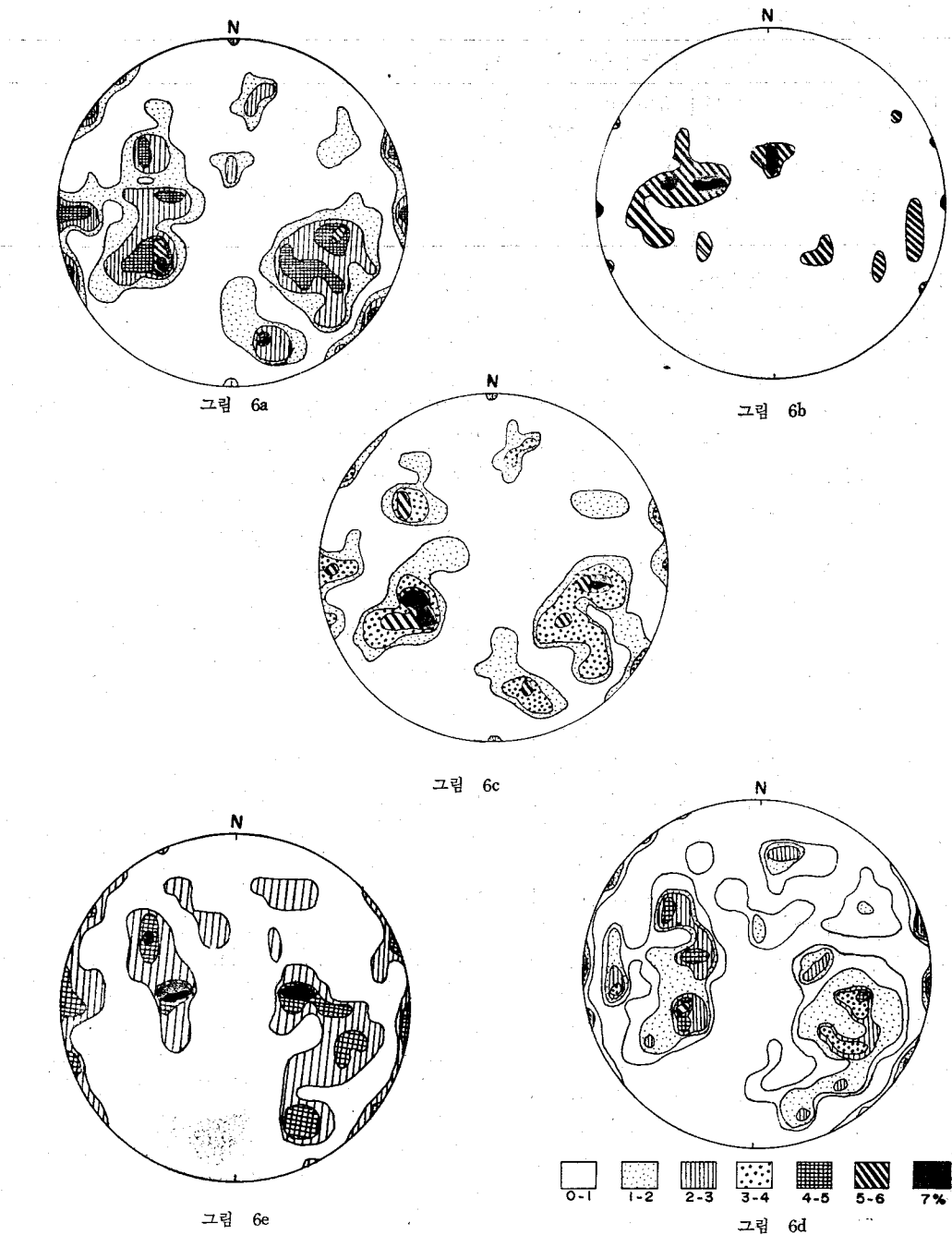


그림 6. a. b. c. d. e

車嶺花崗岩 지반 및 주변에 分布한 암석에 발달하는 구조면의 pole을 stereo net에 도시함.

그림 6a : 變成岩類 및 花崗岩類 전체에 발달하는 구조선

그림 6c : 北部花崗岩 内에 發達하는 구조선

그림 6e : 花崗岩全體에 發達하는 構造線

그림 6b : 變成岩類內에만 發達하는 구조선

그림 6d : 南部花崗岩 内에 發達하는 구조선

表 3 車嶺 花崗岩주변에 分布하는 金銀礦床의 特性

礦床型	母 岩	分布率	礦脈의 주향경사	맥폭, 연장	수반 광물	품 위
脈 狀	흑운모화강암	24%	N25~50E 53%	맥폭 1 Cm~50Cm 주이코	방연석, 황철석, 황동석 첨아연석, 자류철석, 갈 철석,	Au 15~30 g/t
	화강편마암	30%	N20~40W 19%		첨아연석, 자류철석, 갈 철석,	
	기타편마암류	10%	N-S 12%	1m~2m내외로 있음.	형석, 유비철석, 공작석	Ag 40~70g/t
	편암류	33%	기타 3%			
	기타	3%	불명 13%	연장불규칙	방해석,	

의走向傾斜品位脈幅등을綜合요약하면 표3와 같다.
金銀礦床의母岩은片麻岩類가 가장 많고 그중花崗片麻岩內에 가장 많이 발달하며黑雲母花崗岩, 片岩類순이다. 礦物構成은 대부분硫化礦物을 수반하는石英脈이며礦脈의走向은N25~50E方向의것이전체의53%, N20~40W의것이19%, N-S方向의것이12%불명의것3%, 기타3%순으로syntectonic으로형성된構造規制를받고있다. 전자는tension fracture이고후자들은shear fracture이며이는NW~SE힘에기인하여형성된것이다. 이와같이tension fracture에많은金銀床이發達함을볼수있다. 맥폭은10~50cm가주이며수반礦物은방연석, 황철석, 황동석, 첨아연석, 자류철석, 갈철석, 형석, 유비철석, 공작석, 형석, 방해석등이다.

南韓의金銀礦床礦床區의設定은Burke(1960)가처음으로片狀花崗岩(전남북분포), long granite(동북방향분포), 등근화강암(경상분지에分布)그리고화강암이分布하지않는地域으로區分하였다. 그러나金玉準(1970)은侏羅紀의花崗岩과白堊紀의花崗岩을區分하고Burke區分이근본적으로잘못됨을지적하면서南韓의礦床區를11개礦床區로區分했다. 그중本조사지역은侏羅紀~白堊紀초기의天安區에해당되는地域이다. 급변조사에서100여개礦床을도시한결과이들은侏羅紀의大寶花崗岩과밀접한關係를가지고分布하며주로大寶花崗岩과이의貫入에의하여生成된片麻岩類의裂縫를따라發達하고있음이밝혀졌다. 天安區를다시①大川~洪城~大興~禮山지역②天安~並川~安城지역③扶餘~公州지역으로세분할수있다.

5-2 텅그스텐-몰리브덴礦床

텅그스텐-몰리브덴礦床은牧溪지역(대화礦床), 曾坪지역, 青陽지역(청양광상)에小數分散分布한다.

母岩은片麻岩類와花崗岩類이며花崗斑岩, 石英斑岩, 기타變成堆積岩等이다. 이를花崗岩類가大寶花崗岩類에該當하는지의與否는아직알수없다. 礦脈의走向과傾斜는N15~36W, 44NE~vertical이주이며脈幅은0.5~8m, 延長0.1~2km정도이다. 수반礦物

은주로황철석, 황동석, 휘창연석, 방연석, 첨아연석, 자류철석, 형석, 방해석, 망간석등이다. 礦床의形態는대부분脈狀이다.

本조사지역中代表的인몰리브덴-중석광상인大華礦床의경우母岩은花崗片麻岩과侏羅紀의黑雲母花崗岩이며走向과맥의경사는N25W, 30~45N N15°E, W계와55~75SE계가있다. 그리고生成溫度는205~353°C로밝혀졌다(朴喜寅의, 1974). 그리고대표적인중석礦床인青陽텅그스텐礦床의경우母岩은흑운모片麻岩과時代未詳의花崗斑岩으로되어있고脈의走向과傾斜는N15~25°W, 80NE~vertical이며텅그스텐은주로철망간중석(wolframite)이다. 또生成溫度는200°~355°C로밝혀졌다(金奎漢, 1977).

6. 結論

本研究地域을研究目的上漣川系로推測되는京畿變成複合體, 北部花崗岩類, 南部花崗岩類로三大分하고南北部花崗岩을車嶺花崗岩자반이라命名하였다. 이들은大寶造山運動時貫入한것으로서構造의으로보아큰複背斜를이루며夾在된變成複合體는크게보아roof pendants로볼수있을것같다.

車嶺花崗岩은대부분侏羅紀의大寶花崗岩에屬하며modal analysis에依하면주로아다멜라이트(adamellite)花崗閃綠岩, 토날라이트(tonalite)에속한다.

마그마分化中oxidation의영향을보면一般的으로orogenic assimilation trend를보여주며時代別로보면early Jur.~middle Jurassic의경우는orogenic assimilation trend를보이고Ilate Jur.~early Cret.의경우는post orogenic no-assimilation의trend를보이는경향이있다.

本調查地域全體에發達하는裂縫(fracture)方向은tension fracture로解석되는N25°~40°E, 70°SE와shear fracture로解석되는N-S, 50°E~vertical, N50E 80E~vertical등이우세하다.

京畿片麻岩複合體內에發達하는龜烈도shear fracture로解석되는NS, 80E~vertical과tension fracture로解석되는N30E, 40~70SE, extension fracture로解석되는

N 20°—40W, 40°—65SW) 이고 車嶺花崗岩지반에 發達하는 構造線은 tension fracture로 해석되는 N 30°—40°E, 40°—75SE와 shear fracture로 해석되는이 N—S, 50°—70W, N 5°E, 50°—60SW이다. 이는 金玉準(1970)이 詳述한 바와 같이 쥬라紀 大寶花崗岩은 大寶造山運動과 syntectonic 임을 확증해 준다.

本調査地域에 分布하는 鑛床은 주로 金銀鑛床으로 金玉準(1970)이 설정한 天安鑛床區로서 片麻岩類와 花崗岩類 및 片岩類를 母岩으로 하여 대부분 大寶造山運動에 의해 형성된 tension fractures와 shear fractures로 해석되는 N 25°—50E와 N—S方向의 裂縫에 따라 硫化鑛物을 수반하는 脈狀鑛體이다.

參 考 文 獻

- 강필종, 임주환(1974), 廣亭地質圖幅說明書 국립지질광물연구소
권영일, 진명식(1974), 清州 " "
金奎漢(1977), 青陽重石鑛床의 地質과 流體含有物에 의한 溫度
測定에 關한 研究, 광산지질 10권, 1호
김기완, 박봉순, 이홍규(1967), 堤川地質圖幅說明書, 국립지질
조사소
—, 이홍규(1965), 忠州 " "
김서운, 유환수, 우영균(1976), 公州 " 자원개발연구소
김정환, 이인기, (1973), 龍潭地質圖幅說明書, 국립지질광물연
구소
金玉準(1970), 南韓中部地域의 地質과 地構造, 광산지질 2권,
4호
—(1970), 南韓의 金銀鑛床區, 광산지질 3권, 3호
— : (1971), 南韓의 新期花崗岩類의 貫入時期와 地殼變動, 광

산지질 4권, 1호

박봉순, 어상철(1971), 牧溪地質圖幅說明書, 국립지질조사소
朴喜寅, 崔錫源(1974), 大華重石輝水鉛鑛床產鑛物中의 流體包

有物에 關한 研究, 광산지질, 7권, 2호

정창희, 박용안, 김항목(1976), 陰城地質圖幅說明書, 자원개발
연구소

여상철, 이인기(1975), 麗州地質圖幅說明書, 국립지질광물연구소

여상철, 임주환(1974), 利川 " "
원종관, 유환수, 이윤종, 김정진(1974), 神林地質圖幅說明書,

국립지질광물연구소

오인섭, 박석환(1973), 烏山地質圖幅說明書, 국립지질조사소

이종혁, 김정환(1971), 曾坪地質圖幅說明書, 국립지질조사소

—, —(1972), 槐山地質圖幅說明書, 국립지질광물연구소

한국의 광상 제 1. 2. 3. 4. 5. 6. 호, 대한광업진흥공사

1: 25만 춘천, 서울, 대전, 서산, 전주, 광주지질도록, 국립지
질광물연구소

D.S. Lee 1971), Study on the Igneous Activity in the middle
Ogcheon Geosynclinal zone, Korea, Jour. Geol. Soc. Korea.
Vol7, No. 3, P153—216

E.F Osborn (1962) Reaction Series for Subalkaline igneous
rocks based on different oxygen pressure Condition, Vol,
47

O.J. Kim (1971) : Metallogenic Epochs and Provinces of Sou-
th Korea, Jour. Geol. Soc. Vol, 7, No. 1,
—(1975), Granites and Tectonics of South Korea, Jour. Ko-
orean Ming Geol., Vol. 8, No. 4,

Noboru Oba(1974), Petrographic Provinces and the contamina-
tion effects on granitic rocks of Japanese islands, Pacific
Geology 8, 153—157